

## II-21 土の圧密急速三軸試験

東大生産技術研究所。正員 工博 星埜 和  
 正員 榎本歳勝  
 正員 金子 豊

東京都内荒川放水路に架設される西新井橋の基礎工を設計するに当つて支持力と沈下を推定するための基礎地盤調査として標準貫入試験と芯肉サンプラーによる自然状態試料の採取を実施した。採取した試料について物理的諸量を求める試験のほか従来の方法による一軸圧密試験と圧密急速三軸試験を併せて行つて両者の比較を試みた。

圧密急速三軸試験は圧密過程（試験体にすべての方向から一様な液圧を加えて圧密する過程）と軸圧過程（圧密を終った試験体に一定液圧を加えまま排水を許さない状態で上下方向の軸圧力を加え急速な圧縮剪断を行い破壊に達せしめる過程）とからなつてゐる。圧密過程においては液圧を最高  $9.6 \text{ kg/cm}^2$  まで数段階に変え各段階ごとに圧密が終了するまでの体積変化を測定した。体積変化は試験体から排出される水と気体の量を測りて求めたが、圧密が完了するまでの時間が極めて長いものは 1 ～ 2 日で試験を打ち切ったものもある。試験中の温度変化がかなり大きい影響を及ぼすことを認めながらこれを防ぐ設備は極めて不完全であった。軸圧過程においては軸圧応力、軸方向歪、体積変化および間隙圧を測定した。この時の体積変化は極めて小さかった。

試料はシルトないし砂質シルトから成り、乾燥密度は  $1.1 \sim 1.4 \text{ g/cm}^3$  含水比は  $32 \sim 50\%$  飽和度は  $95 \sim 100\%$  で飽和に近い状態であるが、最大  $2\%$  程度の氣体を含んでいるのは採取前から含まれていた空氣あるいは遊離したガスであるか採取後にに入った空氣であることは明かでない。

一軸圧密と三軸圧密の差異を比較すると終極の圧密量は両者がかなりよく一致し、実用上差異はないとしてよいと思われ。（図 1）この点は星埜の塑性理論から予想した所を裏書きしている。三軸試験は方法が複雑で長い時間と要する欠点を有する反面において強度の測定を同時に行いうる点で優れてゐる。

星埜の理論によると三軸圧密による体積変化率は

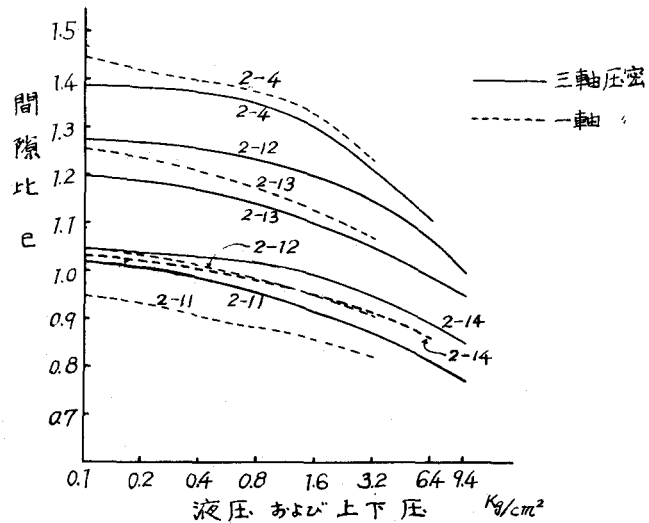


図-1 一軸圧密と三軸圧密の比較

$$n = \frac{\sigma_0}{G_d} \log e \left( \frac{\sigma_0 + \sigma}{\sigma_0} \right) \quad (1)$$

で与えられ、 $n = \sigma$  は液圧  $\sigma_0$  と  $\sigma$  は実験から求められる定数である。  
したがって間隙比  $e$  は

$$e = e_0 - \frac{G_d}{G_s} n = e_0 - \frac{G_d}{G_s} \frac{\sigma_0}{\sigma_0} \log e \left( \frac{\sigma_0 + \sigma}{\sigma_0} \right) \quad (2)$$

で  $n = \sigma$  に、

$e_0$  : 試験前の間隙比

$G_s$  : 土粒子の密度

$G_d$  : 土の乾燥密度

となるから、 $(\sigma_0 + \sigma)$  の対数をとり間隙比  $e$  をプロットすると直線が得られる。

実験結果は二の直線関係が成立することを示している。液圧の小さい所で

この直線が曲っていれば事前圧縮の影響と考えてよいと思われるが、それが確認できなければほとんどなかった。(図2)

軸圧過程において発生する間隙圧  $P_v$  の影響と差引主効平均圧応力  $\sigma_m$  と平均剪応力  $\tau_m$  とそれそれ

$$\sigma_m = \sigma_L - \sigma_0 = \sigma_L + \frac{G_d}{3} - P_v \quad (3)$$

$$\tau_m = \frac{\sqrt{2}}{3} \sigma_v$$

$\sigma_L$  : 一定液圧

$\sigma_v$  : 軸圧応力

で計算し、極限破壊時における  $\sigma_m$  に対する  $\tau_m$  をプロットして、内部圧応力  $\sigma_0$  と内部摩擦係数  $\tan \phi$  を決定した。(図3)

### 参考文献

(1) 星埜和：土の力学における塑性の基本理論と三軸試験への適用、土木学会論文集 第21号、(1954)。

(2) 星埜和：土の三軸試験における

間隙圧の実測と計算、第4回国工学会大会土木部会講演集 II-13 (1956)。

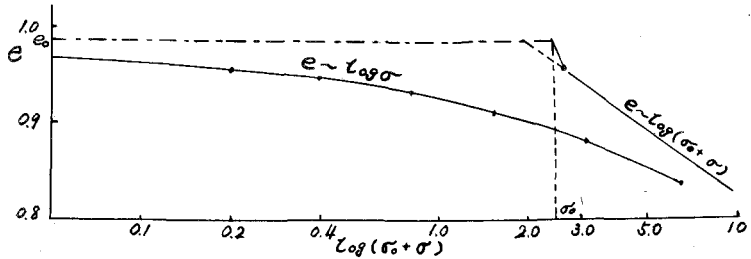


図-2  $\log(\sigma_0 + \sigma)$  と間隙比  $e$  の直線關係 試料番号2-15

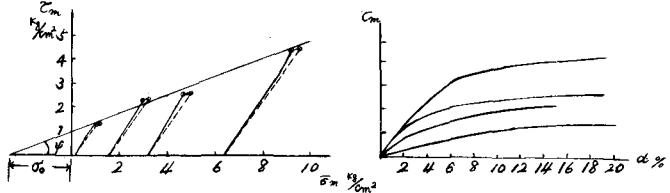


図-3 内部圧応力  $\sigma_0$  と内部摩擦係数  $\tan \phi$  の決定例 試料番号 2-15